

# INF 2310 – Digital bildebehandling

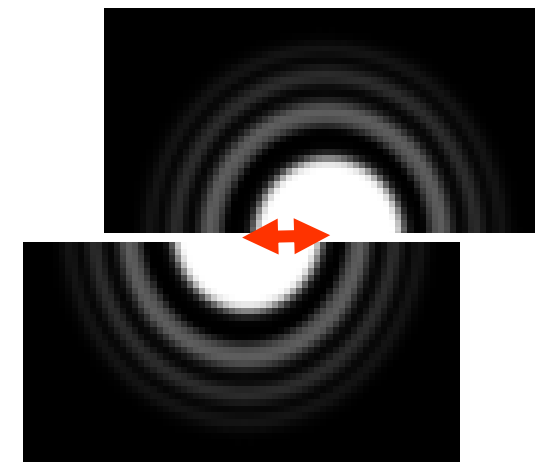
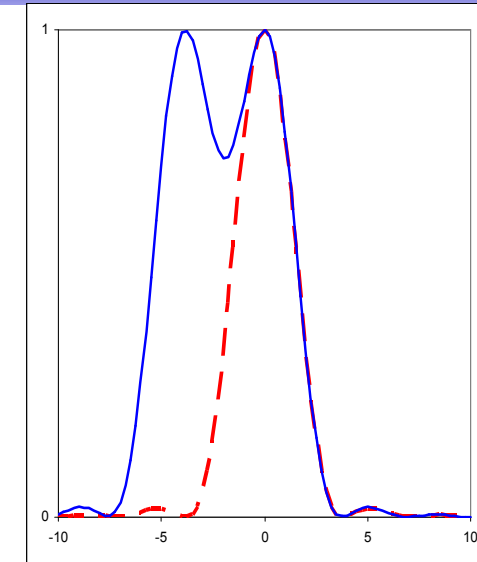
---

## Oppsummering, mai 2014:

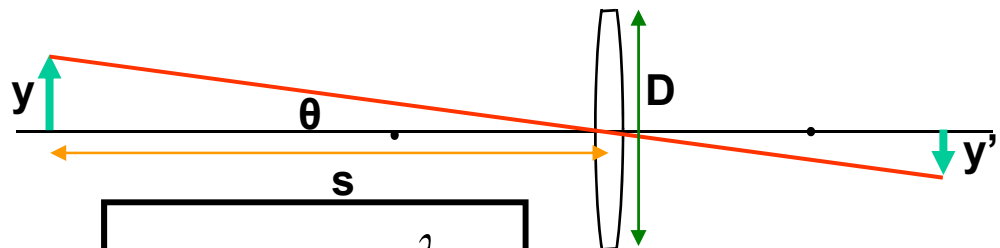
Avbildning	F1
Sampling og kvantisering	F2
Geometriske operasjoner	F3
Gråtone- og histogramoperasjoner	F4,5
Segmentering ved terskling	F13
Farger og fargerom	F15

# Rayleigh-kriteriet

- To punkt-kilder kan adskilles hvis de ligger slik at sentrum i det ene diffraksjonsmønstret faller sammen med den første mørke ringen i det andre.
  - Vinkelen mellom dem er da gitt ved  $\sin \theta = 1.22 \lambda / D$  radianer.
  - Dette er "Rayleigh-kriteriet".
  - *Vi kan ikke se detaljer som er mindre enn dette.*



# Hvor små detaljer kan en linse opp løse?



- Vinkelopløsningen er gitt ved

$$\sin \theta = 1.22 \frac{\lambda}{D}$$

- Tangens til vinkelen  $\theta$  er gitt ved

$$tg(\theta) = \frac{y}{s}$$

- For små vinkler er  $\sin(\theta) = \tg(\theta) = \theta$ , når vinkelen  $\theta$  er gitt i radianer.

- => Den minste detaljen vi kan opp løse:

$$\frac{y}{s} = 1.22 \frac{\lambda}{D}$$

$$y = 1.22 \frac{s\lambda}{D}$$

# Samplingsteoremet (Shannon/Nyquist)

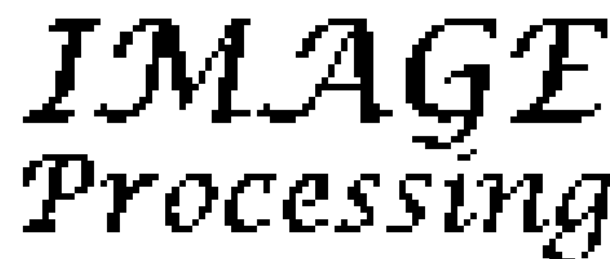
---

- Anta at det kontinuerlige bildet er båndbegrenset, dvs. det inneholder ikke høyere frekvenser enn  $f_{\max}$
- Det kontinuerlige bildet kan rekonstrueres fra det digitale bildet dersom samplingsraten  $f_s = 1/T_s$  er større enn  $2 f_{\max}$  (altså  $T_s < 1/2T_0$ )
- $2 f_{\max}$  kalles Nyquist-raten
- I praksis oversampler vi med en viss faktor for å kunne få god rekonstruksjon

# Anti-aliasing

---

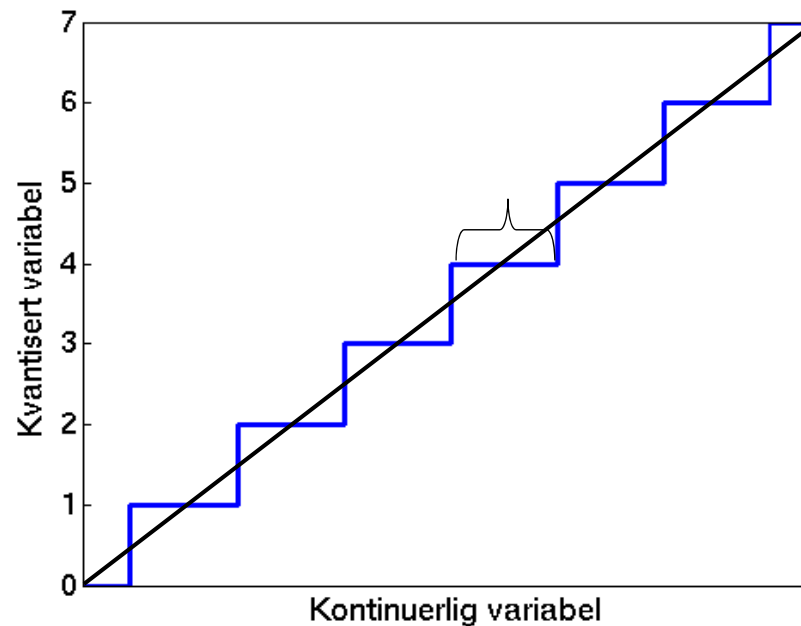
- Ved *anti-aliasing* fjerner/demper vi de høyere frekvensene i bildet **før** vi sampler



# Kvantisering

---

- Hvert piksel lagres vha.  $n$  biter
- Pikselet kan da inneholde heltallsverdier fra 0 til  $2^n-1$
- Eks 3 biter:



# Kvantiseringsfeil

---

- Kvantiseringsfeil
  - Summen av hver piksels avrundingsfeil
  - Kan velge intervaller og tilhørende rekonstruksjonsintensiteter for å minimere denne => Ikke nødvendigvis uniform fordeling
- Sentrale stikkord:
  - Lagringsplass
  - Behov for presisjon/akseptabelt informasjonstap
  - Hardware-kompleksitet, eller fysiske begrensninger
- Merk: Fremvisning og videre analyse av det kvantiserte bildet kan stille ulike krav til presisjon

# Geometriske operasjoner

---

- Endrer på pikslenes posisjoner
- Første steg i denne prosessen:
  - Transformer pikselkoordinatene  $(x,y)$  til  $(x',y')$ :
$$x' = T_x(x,y)$$
$$y' = T_y(x,y)$$
  - $T_x$  og  $T_y$  er ofte gitt som polynomer.
- Siden pikselkoordinatene må være heltall, må vi deretter bruke interpolasjon til å finne pikselverdien (gråtonen) i den nye posisjonen.

# Affine transformer

- Transformerer pikselkoordinatene  $(x,y)$  til  $(x',y')$ :

$$x' = T_x(x, y)$$

$$y' = T_y(x, y)$$

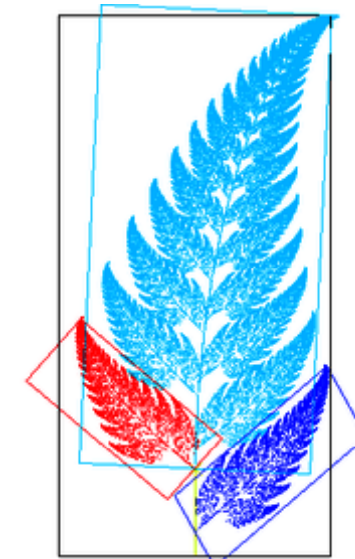
- Affine transformer beskrives ved:

$$x' = a_0x + a_1y + a_2$$

$$y' = b_0x + b_1y + b_2$$

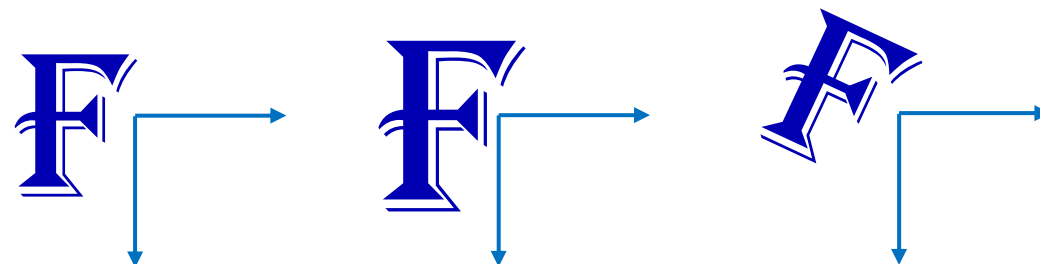
- På matriseform:

$$\begin{bmatrix} x' \\ y' \\ 1 \end{bmatrix} = \begin{bmatrix} a_0 & a_1 & a_2 \\ b_0 & b_1 & b_2 \\ 0 & 0 & 1 \end{bmatrix} \begin{bmatrix} x \\ y \\ 1 \end{bmatrix} \quad \text{eller} \quad \begin{bmatrix} x' \\ y' \end{bmatrix} = \begin{bmatrix} a_0 & a_1 \\ b_0 & b_1 \end{bmatrix} \begin{bmatrix} x \\ y \end{bmatrix} + \begin{bmatrix} a_2 \\ b_2 \end{bmatrix}$$



# Eksempler på enkle transformer - I

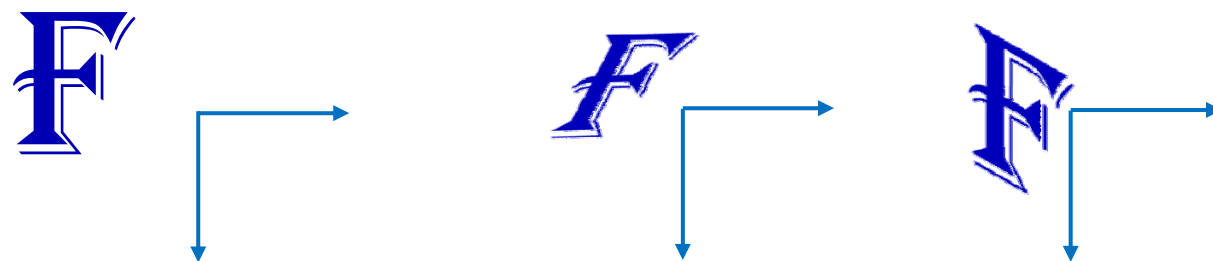
Transformasjon	$a_0$	$a_1$	$a_2$	$b_0$	$b_1$	$b_2$	Uttrykk
Identitet	1	0	0	0	1	0	$x' = x$ $y' = y$
Skalering	$s_1$	0	0	0	$s_2$	0	$x' = s_1 x$ $y' = s_2 y$
Rotasjon	$\cos\theta$	$-\sin\theta$	0	$\sin\theta$	$\cos\theta$	0	$x' = x\cos\theta - y\sin\theta$ $y' = x\sin\theta + y\cos\theta$



$$\begin{bmatrix} x' \\ y' \\ 1 \end{bmatrix} = \begin{bmatrix} a_0 & a_1 & a_2 \\ b_0 & b_1 & b_2 \\ 0 & 0 & 1 \end{bmatrix} \begin{bmatrix} x \\ y \\ 1 \end{bmatrix}$$

# Eksempler på enkle transformer - II

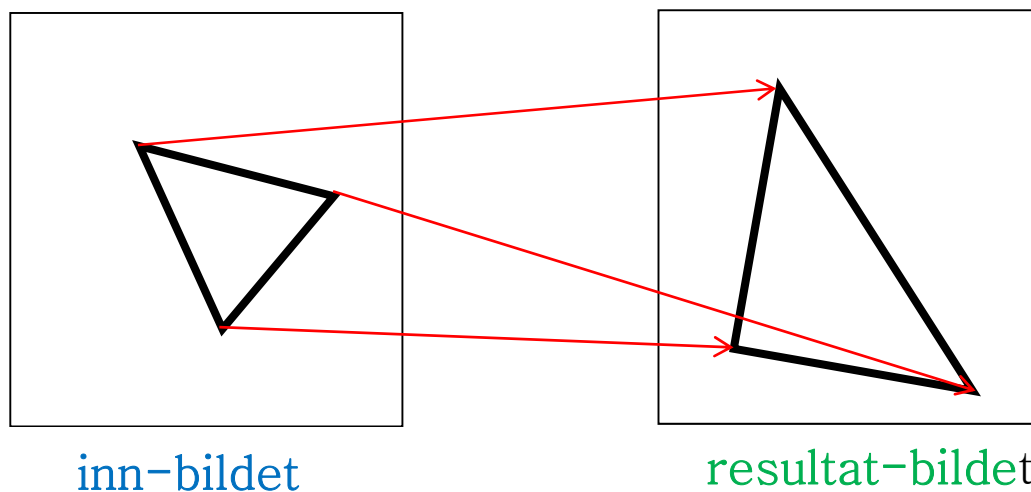
Transformasjon	$a_0$	$a_1$	$a_2$	$b_0$	$b_1$	$b_2$	Uttrykk
Translasjon	1	0	$\Delta x$	0	1	$\Delta y$	$x' = x + \Delta x$ $y' = y + \Delta y$
Horisontal "shear" med faktor $s_1$	1	$s_1$	0	0	1	0	$x' = x + s_1 y$ $y' = y$
Vertikal "shear" med faktor $s_2$	1	0	0	$s_2$	1	0	$x' = x$ $y' = s_2 x + y$



$$\begin{bmatrix} x' \\ y' \\ 1 \end{bmatrix} = \begin{bmatrix} a_0 & a_1 & a_2 \\ b_0 & b_1 & b_2 \\ 0 & 0 & 1 \end{bmatrix} \begin{bmatrix} x \\ y \\ 1 \end{bmatrix}$$

# Alternativ måte å finne transformkoeffisientene

- En affin transform kan bestemmes ved å spesifisere tre punkter før og etter avbildningen



- Med disse tre punktparene kan vi finne de 6 koeffisientene;  
 $a_0, a_1, a_2, b_0, b_1, b_2$
- Med flere enn 3 punktpar velger man den transformasjonen som minimerer (kvadrat-)feilen summert over alle punktene.

# Forlengs-mapping

```
for all x',y' do g(x',y') = 0
```

$$a_0 = \cos \theta$$

$$a_1 = -\sin \theta$$

$$b_0 = \sin \theta$$

$$b_1 = \cos \theta$$

```
for all x,y do
```

$$x' = \text{round}(a_0x + a_1y)$$

$$y' = \text{round}(b_0x + b_1y)$$

```
if (x',y') inside g
```

$$g(x',y') = f(x,y)$$

```
end
```

Eksempel:

Enkel rotasjon ved transformen:

$$\begin{bmatrix} x' \\ y' \\ 1 \end{bmatrix} = \begin{bmatrix} \cos \theta & -\sin \theta & 0 \\ \sin \theta & \cos \theta & 0 \\ 0 & 0 & 1 \end{bmatrix} \begin{bmatrix} x \\ y \\ 1 \end{bmatrix}$$

Flytter de posisjonstransformerte pikselposisjonene til nærmeste pikselposisjon i utbildet.

Skriver innbildets  $f(x,y)$  inn i  $g(x', y')$

# Baklengs-mapping

```
a0 = cos (-θ)
a1 = -sin (-θ)
b0 = sin (-θ)
b1 = cos (-θ)

for alle x',y' do
    x = round(a0x'+a1y')
    y = round(b0x'+b1y')
    if (x,y) inside f
        g(x',y') = f(x,y)
    else
        g(x',y')=0
end
```

Samme eksempel som ved forlengs-mappingen.

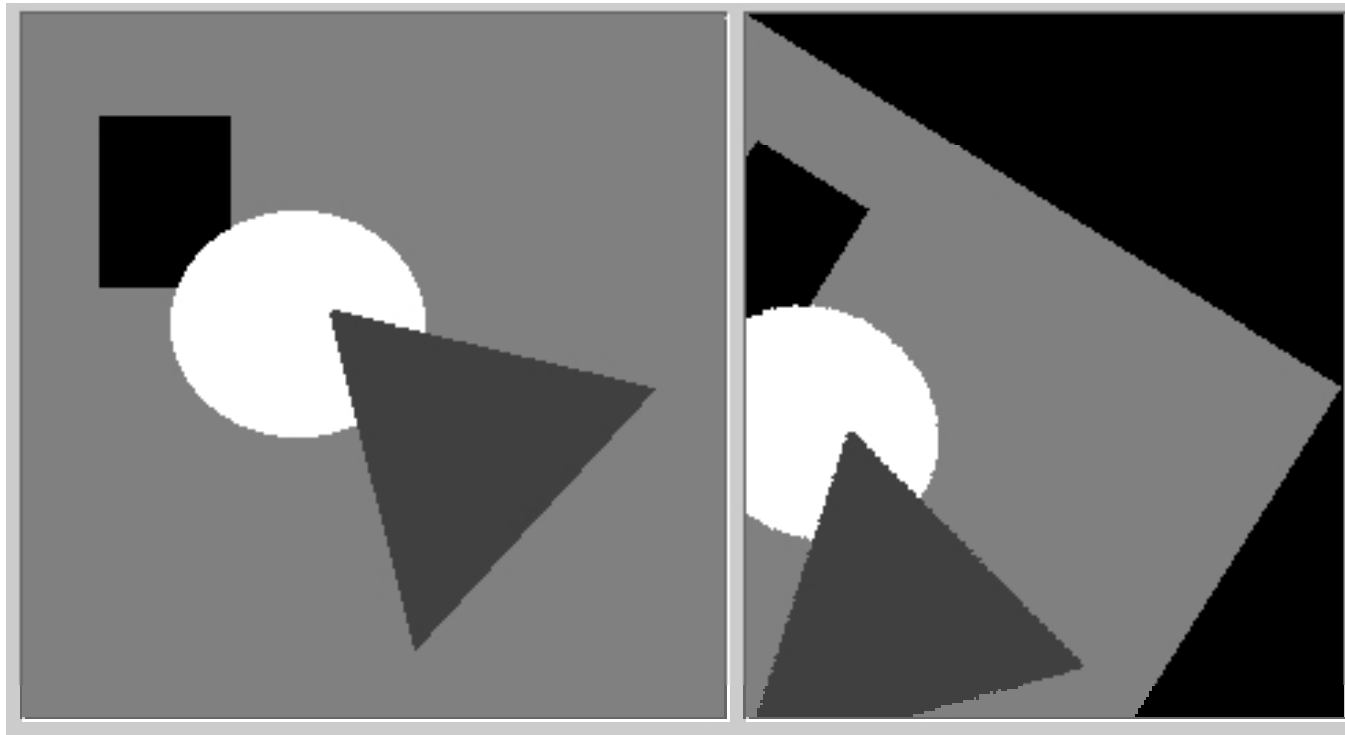
NB:  $(x,y)$  rotert med  $\theta$  ga  $(x',y')$   
 $(x',y')$  rotert med  $-\theta$  gir  $(x,y)$

Resample bildet.  
Her; for hvert utbilde-piksel,  
invers-transformér,  
og velg nærmeste piksel  
fra innbildet.

For hver pikselposisjon i ut-bildet:  
Hent pikselverdi fra innbildet.

# Baklengs-mapping, forts.

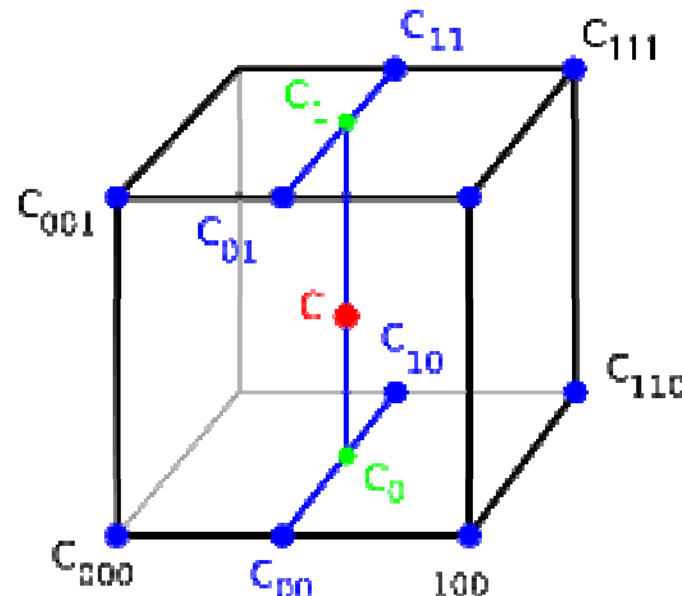
---



# Trilineær interpolasjon

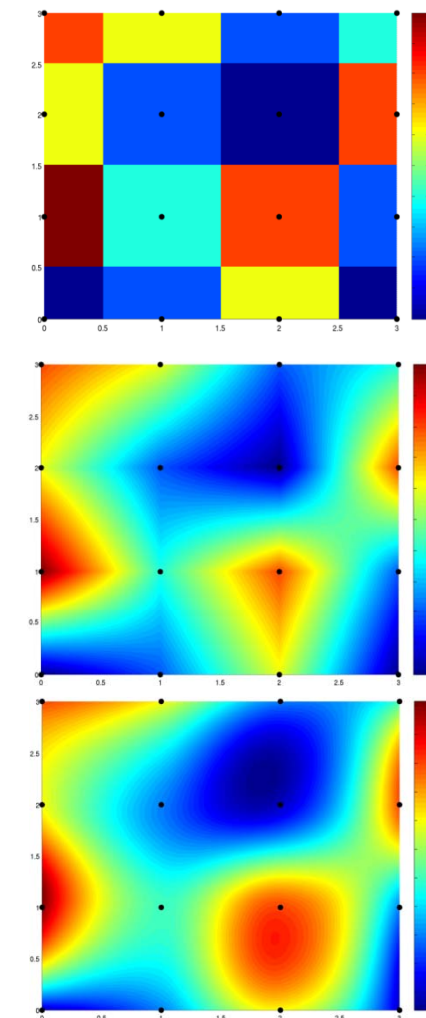
---

- Utvidelsen fra 2D til 3D kalles *trilineær* interpolasjon, og er en lineær interpolasjon mellom resultatene av to bilineære interpolasjoner.
- **Resultatet er uavhengig av rekkefølgen.**



# Interpolasjon – en sammenligning

- Nærmeste nabo gir 2D trappefunksjon.
  - Diskontinuitet midt mellom punktene.
- Bi-lineær interpolasjon bruker  $2 \times 2 = 4$  piksler.
  - Derivert er ikke kontinuerlig over bilde-flaten.
- Bi-kubisk interpolasjon gir glattere flater.
  - Er mer regnekrevende.
  - Bruker  $4 \times 4 = 16$  piksler.



# Normalisert histogram

---

- Vi har at  $\sum_{i=0}^{G-1} h(i) = n \times m$
- Det normaliserte histogrammet:

$$p(i) = \frac{h(i)}{n \times m}, \quad \sum_{i=0}^{G-1} p(i) = 1$$

- $p(i)$  kan ses på som en **sannsynlighetsfordeling** for pikselintensitetene
  - ”Uavhengig” av antall piksler i bildet

# Kumulativt histogram

---

- Hvor mange piksler har gråtone mindre enn eller lik gråtone  $j$ ?

$$c(j) = \sum_{i=0}^j h(i)$$

- Normalisert kumulativt histogram:

$$\frac{c(j)}{n \times m}$$

(Sannsynligheten for at en tilfeldig valgt piksel er mindre eller lik gråtone  $j$ )

# Lineær gråtonetransform

---

- Lineær strekking

$$T[i] = a \cdot i + b$$

$$g(x, y) = a f(x, y) + b$$

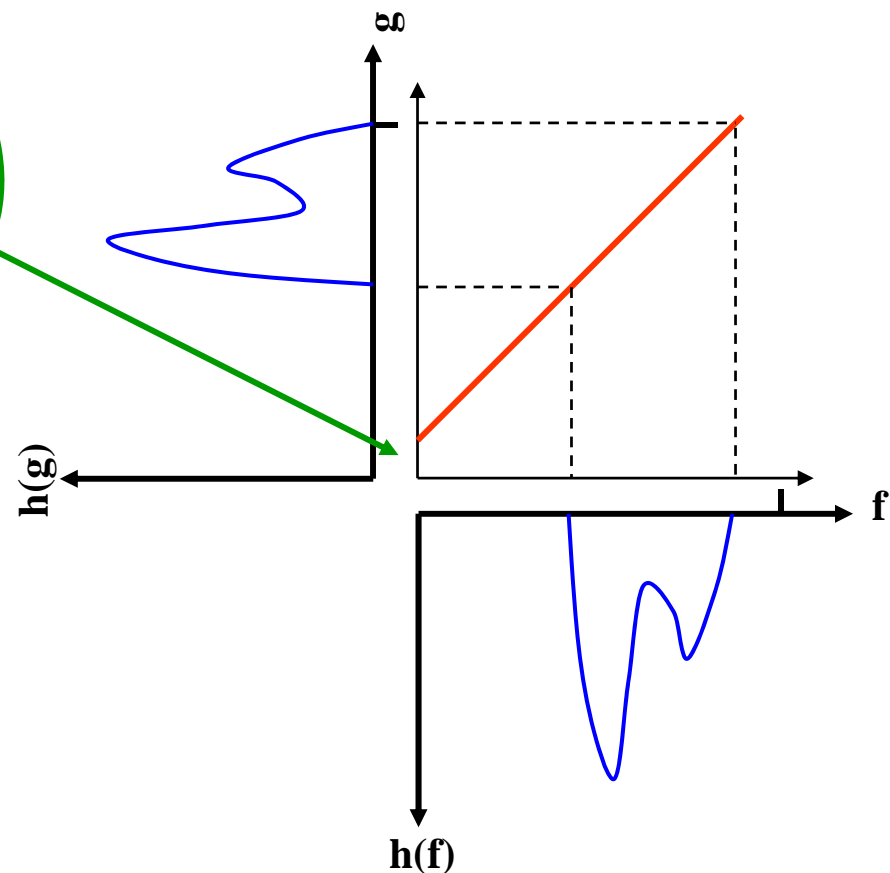
- $a$  regulerer kontrasten, og  $b$  "lysheten"
- $a > 1$ : mer kontrast
- $a < 1$ : mindre kontrast
  - Q: Når og hvordan påvirker  $a$  middelverdien?
- $b$ : flytter alle gråtoner  $b$  nivåer
- Negativer:  $a = -1$ ,  $b = \text{maxverdi for bildetype}$

# Endre "lysheten" (brightness)

- Legge til en konstant  $b$  til alle pikselverdiene

$$g(x, y) = f(x, y) + b$$

- Hvis  $b > 0$ , alle pikselverdiene øker, og bildet blir lysere
- Hvis  $b < 0$ , bildet blir mørkere
- Histogrammet flyttes opp eller ned med  $b$
- Middelverdien endres!**



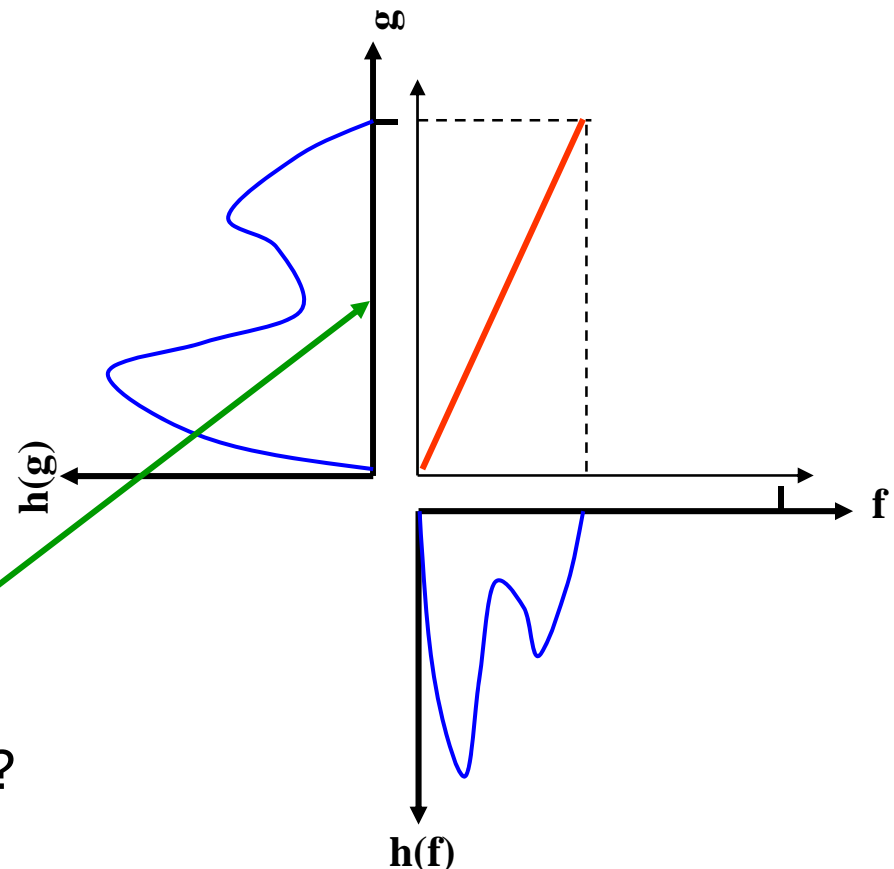
# Endre kontrasten

- Multiplisere hver pikselverdi med en faktor  $a$ :

$$g(x, y) = a f(x, y)$$

- Hvis  $a > 1$ , kontrasten øker
- Hvis  $a < 1$ , kontrasten minker

- Eks: Bruke hele intensitetsskalaen
- **Q:** Hva skjer med middelverdien?



# Justering av $\mu$ og $\sigma^2$

- Gitt inn-bilde med middelverdi  $\mu$  og varians  $\sigma^2$
- Anta en lineær gråtone-transform  $T[i] = ai + b$
- Ny middelverdi  $\mu_T$  og varians  $\sigma_T^2$  er da gitt ved

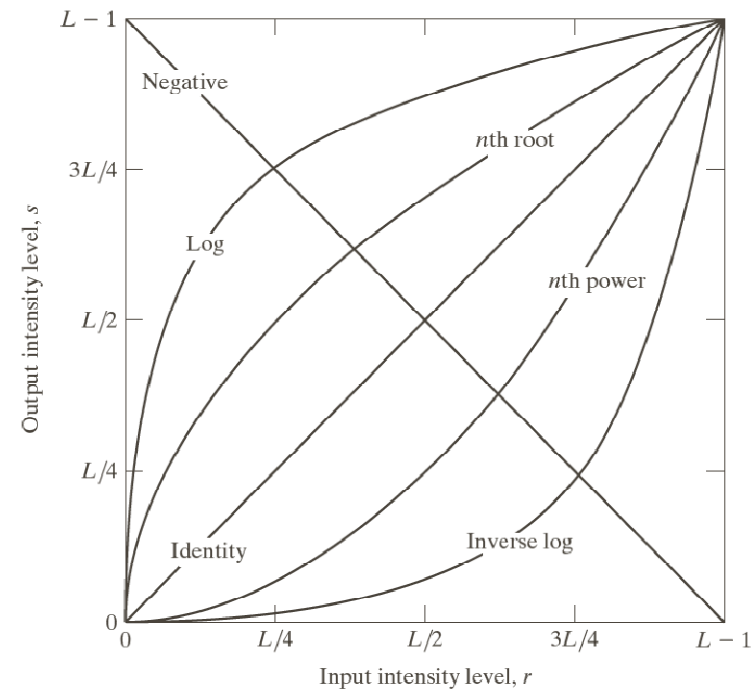
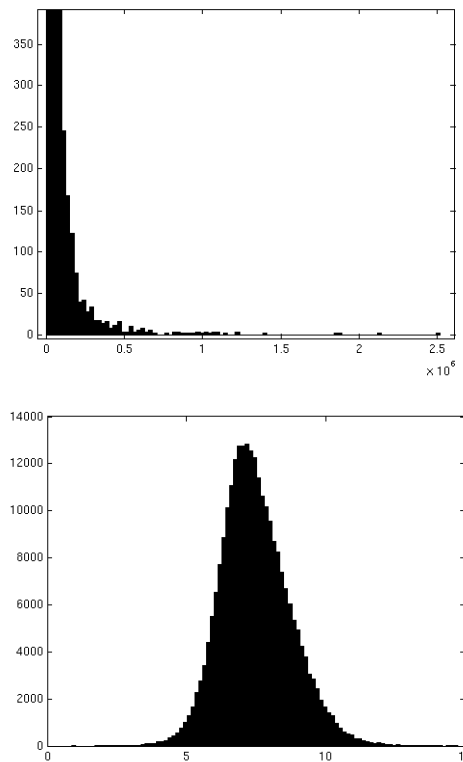
$$\mu_T = \sum_{i=0}^{G-1} T[i] p(i) = a\mu + b$$

$$\begin{aligned}\sigma_T^2 &= \sum_{i=0}^{G-1} T[i]^2 p(i) - \left( \sum_{i=0}^{G-1} T[i] p(i) \right)^2 \\ &= \sum_{i=0}^{G-1} (a^2 i^2 + 2ai b + b^2) p(i) - \left( \sum_{i=0}^{G-1} (ai + b) p(i) \right)^2 \\ &= a^2 \left( \sum_{i=0}^{G-1} i^2 p(i) - \left( \sum_{i=0}^{G-1} i p(i) \right)^2 \right) = a^2 \sigma^2\end{aligned}$$

- Dvs.  
 $a = \sigma_T / \sigma$ ,  $b = \mu_T - a\mu$
- Vi kan altså
  - velge nye  $\mu_T$  og  $\sigma_T^2$ ,
  - beregne a og b,
  - anvende  $T[i] = ai + b$  på inn-bildet
  - og få et ut-bilde med riktig  $\mu_T$  og  $\sigma_T^2$

# Logaritmiske transformasjoner

- Q: Hvilken av transformasjonene til høyre er brukt her?



(Fig 3.3 i DIP)

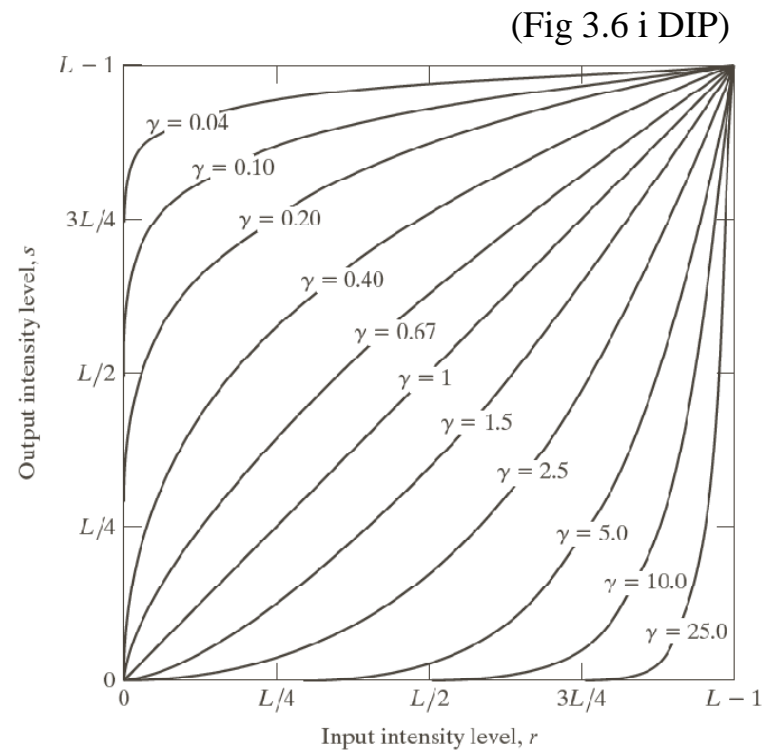
# Power-law (gamma)-transformasjoner

- Mange bildeproduserende apparater har et input/output-forhold som kan beskrives som:

$$s = ci^\gamma$$

der  $s$  er ut-intensiteten ved en input  $i$

- Kan korrigeres ved gråtonetransformen  $T[i] = i^{1/\gamma}$
- Generell kontrast-manipulasjon
  - Brukervennlig med kun én variabel



# Histogramutjevning (*histogram equalization*)

---

- Mål: Maksimere kontrasten
  - Gjøre histogrammet uniformt (flatt)  
↔ Kumulative histogrammet en rett linje
- Middel: Global gråtonetransform;  $T[i]$ 
  - Altså flytte på (hele) histogramsøyler
- Tilnærming ved å spreøylene mest mulig utover det støttede intensitetsintervallet

# Algoritme for histogramutjevning

---

- For et  $n \times m$  bilde med G gråtoner:
  - Lag array h, p, c og T av lengde G med initialverdi 0
- Finn bildets normaliserte histogram
  - Gå igjennom bildet piksel for piksel.  
Hvis piksel har intensitet i, la  $h[i] = h[i] + 1$
  - Deretter skalér,  $p[i] = h[i]/(n \cdot m)$ ,  $i=0,1,\dots,G-1$
- Lag det kumulative histogrammet c
  - $c[0] = p[0]$
  - $c[i] = c[i-1] + p[i]$ ,  $i=1,2,\dots,G-1$
- Sett inn verdier i transformarray T
  - $T[i] = \text{Round}( (G-1) * c[i] )$ ,  $i=0,1,\dots,G-1$
- Gå igjennom bildet piksel for piksel,  
Hvis bildet har intensitet i, sett intensitet i utbildet til  
 $s = T[i]$

# Histogramtilpasning

---

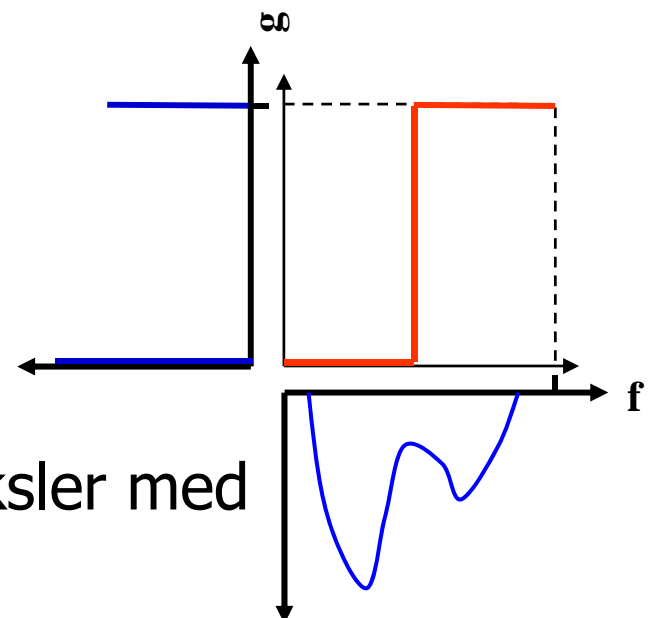
- Histogramutjevning gir flatt histogram
  - Kan spesifisere annen form på resultathistogrammet:
1. Gjør histogramutjevning på innbildet, finn  $s=T(i)$
  2. Spesifiser ønsket nytt histogram  $g(z)$
  3. Finn den transformen  $T_g$  som histogramutjevner  $g(z)$   
og inverstransformen  $T_g^{-1}$
  4. Inverstransformer det histogramutjevnede bildet  
fra punkt 1 ved  $z=T_g^{-1}(s)$

# Terskling

- Hvis vi har grunn til å anta at objektene f.eks. er lysere enn bakgrunnen, kan vi sette en terskel  $T$  og lage oss et binært ut-bilde  $g(x,y)$  ved mappingen:

$$g(x, y) = \begin{cases} 0 & \text{hvis } f(x, y) \leq T \\ 1 & \text{hvis } f(x, y) > T \end{cases}$$

- Da har vi fått et ut-bilde  $g(x,y)$  med bare to mulige verdier.
- Med riktig valg av  $T$  vil nå alle piksler med  $g(x,y)=1$  være objekt-piksler.



# Klassifikasjonsfeil ved terskling

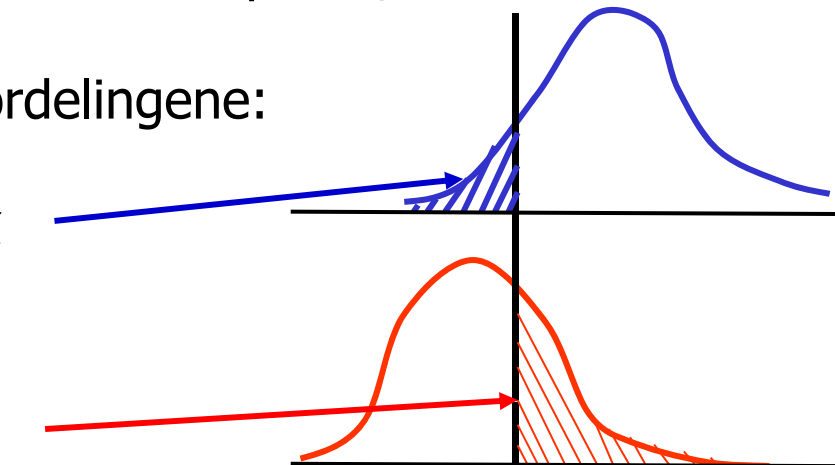
- Anta at histogrammet er en sum av to fordelinger  $b(z)$  og  $f(z)$ ,  $b$  og  $f$  er **normaliserte** bakgrunns- og forgrunns-histogrammer.
- La  $F$ og  $B$  være **a priori sannsynlighet** for bakgrunn og forgrunn ( $B+F=1$ )
- Det normaliserte histogrammet til bildet kan da skrives

$$p(z) = B \cdot b(z) + F \cdot f(z)$$

- Sannsynlighetene for å feilklassifisere et piksel, gitt en terskelverdi  $t$ , finner vi fra de normaliserte fordelingene:

$$E_B(t) = \int_{-\infty}^t f(z) dz$$

$$E_F(t) = \int_t^{\infty} b(z) dz$$

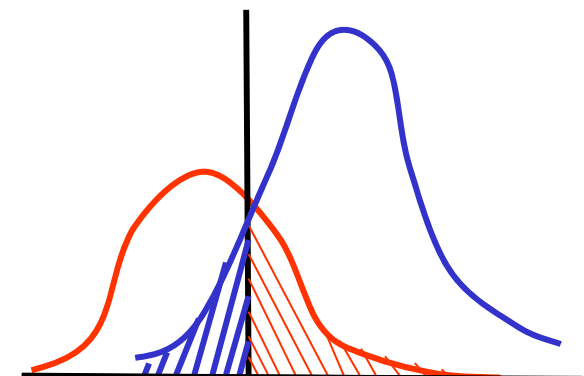
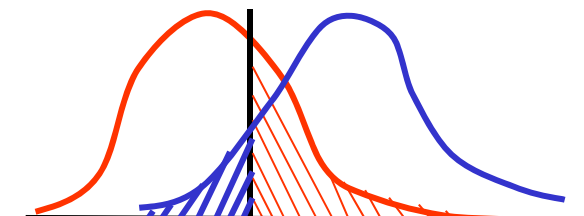


# Den totale feilen

- Vi har funnet andelen feilklassifikasjon i hver fordeling.
- Den totale feilen finner vi ved å multiplisere med a priori sannsynlighetene for forgrunn og bakgrunn:

$$\begin{aligned} E(t) &= F \cdot E_B(t) + B \cdot E_F(t) \\ &= F \int_{-\infty}^t f(z) dz + B \int_t^{\infty} b(z) dz \end{aligned}$$

- Legges terskelen veldig høyt eller veldig lavt, blir feilen stor.
- Det er rimelig å anta at feilen har et minimum for en bestemt verdi  $t = T$ .



# Finn den T som minimerer feilen

$$E(t) = F \int_{-\infty}^t f(z) dz + B \int_t^{\infty} b(z) dz$$

- Deriverer E(t) mhp. t vha. Leibnitz regel  
for derivasjon av integraler.
- Setter den deriverte lik 0 og får:

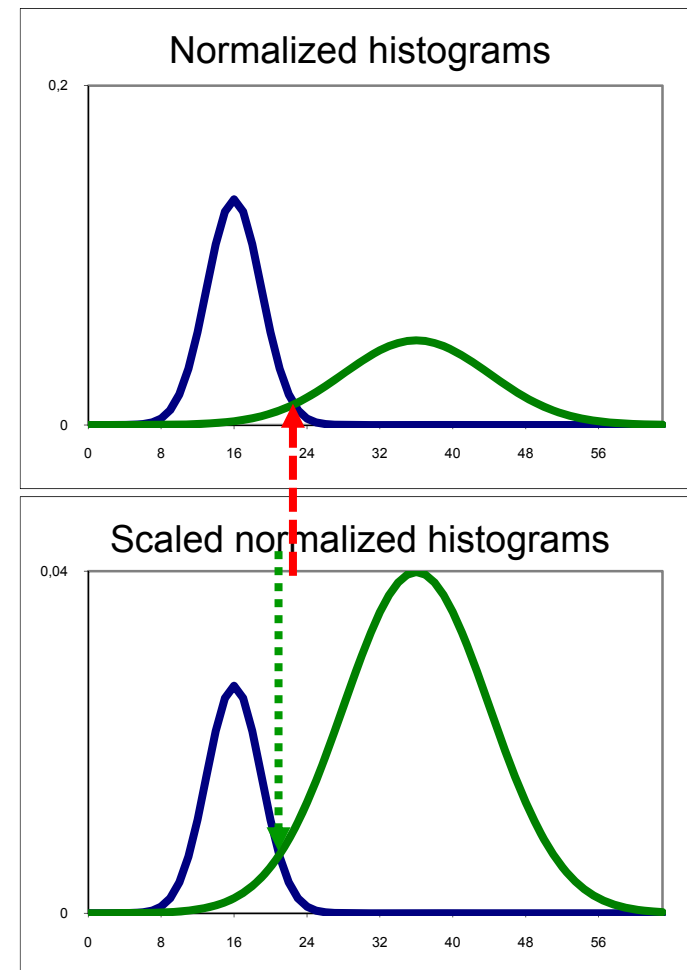
VIKTIG !!!

$$\frac{dE(t)}{dt} = 0 \Rightarrow F \cdot f(T) = B \cdot b(T)$$

- Merk at dette er en generell løsning som gir minst feil.
- Det er ingen restriksjoner mht. fordelingene  $b$  og  $f$ !!

# Hvilket histogram ?

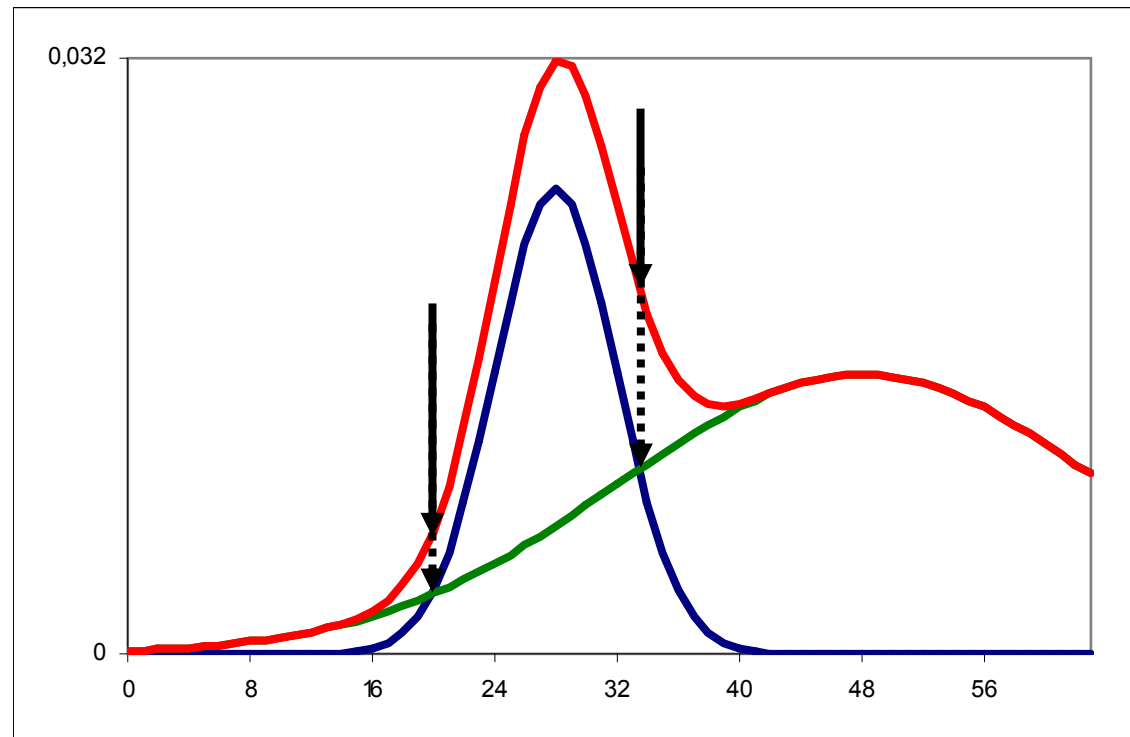
- Det er IKKE skjæringen mellom de normaliserte histogrammene vi er ute etter!
- Det er skjæringen mellom **de a priori-skalerte** normaliserte histogrammene som gir riktig terskelverdi !!!



# Forskjellige standardavvik ?

- Hvis standardavvikene i de to Gauss-fordelingene er forskjellige
  - og skjæringspunktene mellom fordelingene (skalert med a priori sannsynlighet) ligger innenfor gråtoneskalaen i bildet

- En terskelverdi for hvert skjæringspunkt.
- Det er bare mellan de to terseklene at flertallet av pikslene er bakgrunnspiksler!



# Hvor ligger optimal terskel?

- Vi har en annengradsligning i T:

$$(\sigma_B^2 - \sigma_F^2)T^2 + 2(\mu_B\sigma_F^2 - \mu_F\sigma_B^2)T + \sigma_B^2\mu_F^2 - \sigma_F^2\mu_B^2 + 2\sigma_B^2\mu_F^2 \ln\left(\frac{B\sigma_F}{F\sigma_B}\right) = 0$$

- Hvis standard-avvikene i de to fordelingene er like ( $\sigma_B = \sigma_F = \sigma$ ) får vi en enklere ligning:

$$2(\mu_B - \mu_F)T - (\mu_B + \mu_F)(\mu_B - \mu_F) + 2\sigma^2 \ln\left(\frac{B}{F}\right) = 0$$

$\Updownarrow$

$$T = \frac{(\mu_B + \mu_F)}{2} + \frac{\sigma^2}{(\mu_B - \mu_F)} \ln\left(\frac{F}{B}\right)$$

- Hvis *a priori* sannsynlighetene F og B er omtrent like (eller hvis  $\sigma=0$ ) har vi en veldig enkel løsning:

$$T = \frac{(\mu_B + \mu_F)}{2}$$

# En enkel tersklings-algoritme

---

- Start med terskel-verdi  $t =$  middelverdien til alle pikslene i bildet.
  - Finn middelverdien ( $\mu_1(t)$ ) av alle piksler som er mørkere enn terskelen
  - Finn middelverdien ( $\mu_2(t)$ ) av alle piksler som er lysere enn terskelen.
- La ny terskel-verdi være

$$t = \frac{1}{2}(\mu_1(t) + \mu_2(t))$$

- Gjenta de to punktene ovenfor til terskelen ikke flytter seg mer.
- Dette kalles Ridler og Calvard's metode
  - Hvilke betingelser må være oppfylt for at metoden skal virke?

# Otsu's metode - motivasjon

---

- Anta at vi har et gråtonebilde med  $G$  gråtoner, med normalisert histogram  $p(i)$ .
- Anta at bildet inneholder to populasjoner av piksler, slik at pikslene innenfor hver populasjon er noenlunde like, mens populasjonene er forskjellige.
- **Målsetting:**

Vi vil finne en terskel  $T$  slik at hver av de to klassene som oppstår ved tersklingen blir mest mulig homogen, mens de to klassene bli mest mulig forskjellige.

  - Klassene er homogene:  
variansen i hver av de to klassene er minst mulig.
  - Separasjonen mellom klassene er stor:  
avstanden mellom middelverdiene er størst mulig.

# Otsu's metode; oppsummering

---

- Gitt et NxM pikslers bilde med G gråtoner.
- Finn bildets histogram,  $h(k)$ ,  $k = 0, 1, 2, \dots, G-1$ .
- Finn bildets normaliserte histogram:  $p(k) = \frac{h(k)}{MN}$ ,  $k = 0, 1, 2, \dots, G-1$
- Beregn kumulativt normalisert histogram:  $P_1(k) = \sum_{i=0}^k p(i)$ ,  $k = 0, 1, 2, \dots, G-1$
- Beregn kumulativ middelverdi,  $\mu(k)$ :  $\mu(k) \equiv \sum_{i=0}^k ip(i)$ ,  $k = 0, 1, 2, \dots, G-1$
- Beregn global middelverdi,  $\mu$ :  $\mu \equiv \sum_{i=0}^{G-1} ip(i)$
- Beregn variansen mellom klassene,  $\sigma_B^2(k)$ :  $\sigma_B^2(k) = \frac{[\mu(k) - \mu P_1(k)]^2}{P_1(k)(1 - P_1(k))}$
- Finn terskelen,  $T$ , der  $\sigma_B^2(k)$  har sitt maksimum.
- Beregn separabilitetsmålet,  $\eta(T)$ :  $\eta(T) = \frac{\sigma_B^2(T)}{\sigma_{Tot}^2}$ ,  $0 \leq \eta(T) \leq 1$

# Adaptiv terskling ved interpolasjon

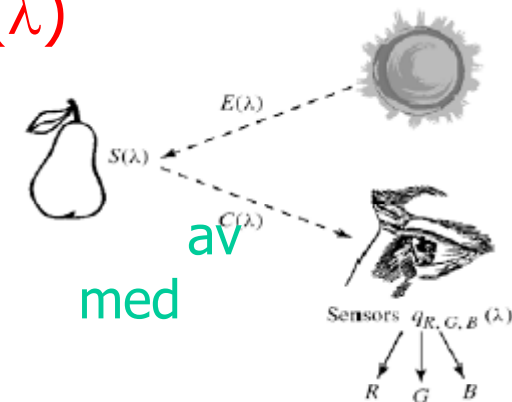
---

- Globale terskler gir ofte dårlig resultat.
- Globale metoder kan benyttes lokalt.
- Dette virker ikke der vinduet bare inneholder en klasse !
- Oppskrift:
  - **NIVÅ I:** Del opp bildet i del-bilder.
    - For del-bilder med bi-modalt histogram:
      - Finn lokal terskelverdi  $T_c(i,j)$  og tilordne den til senterpikselet  $(i,j)$  i del-bildet.
    - For del-bilder med uni-modalt histogram:
      - Finn lokal terskelverdi ved interpolasjon.
  - **NIVÅ II:** Piksel-for-piksel interpolasjon:
    - Gå gjennom alle piksel-posisjoner
      - bestem adaptiv terskelverdi  $T(x,y)$  ved interpolasjon mellom de lokale terskelverdiene  $T_c(i,j)$ .
    - Terskle så hvert piksel  $(x,y)$  i bildet i terskelverdiene  $T(x,y)$ .

# Tre integraler gir RGB

- Lys fra en kilde med spektralfordeling  $E(\lambda)$

- treffer et objekt med spektral refleksjonsfunksjon  $S(\lambda)$ .
  - Reflektert lys detekteres tre typer tapper spektral lysfølsomhetsfunksjon  $q_i(\lambda)$ .



- Tre analoge signaler kommer ut av dette:

$$R = \int E(\lambda) S(\lambda) q_R(\lambda) d\lambda$$

$$G = \int E(\lambda) S(\lambda) q_G(\lambda) d\lambda$$

$$B = \int E(\lambda) S(\lambda) q_B(\lambda) d\lambda$$

# RGB primærfarger

---

- Commission Internationale de l'Eclairage, (CIE)  
(The International Commission of Illumination)

har definert primærfargene:

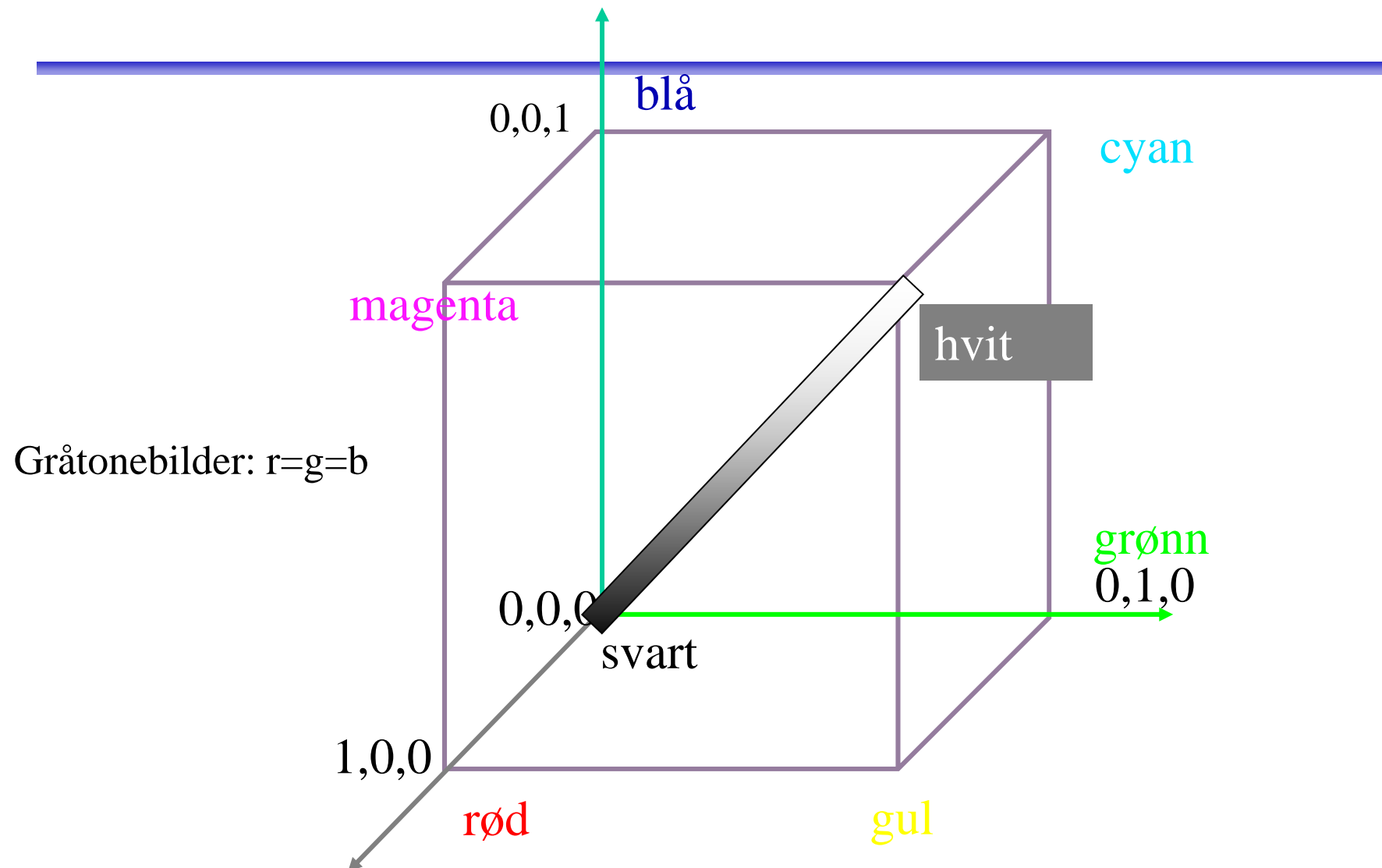
- Blå: 435.8 nm
- Grønn: 546.1 nm
- Rød: 700 nm

# Beskrivelse av farger

---

- En farge kan beskrives på forskjellige måter (kalles fargerom)
  - RGB
  - HSI (Hue, Saturation, Intensity)
  - CMY (Cyan, Magenta, Yellow)
  - pluss mange flere .....
- HSI er viktig for hvordan vi beskriver og skiller farger.
  - I – Intensitet: hvor lys eller mørk er den
  - S – saturation/metning: hvor "sterk" er fargen
  - H – dominerende farge (bølgelengde)
  - H og S beskriver sammen fargen og kalles kromatisitet

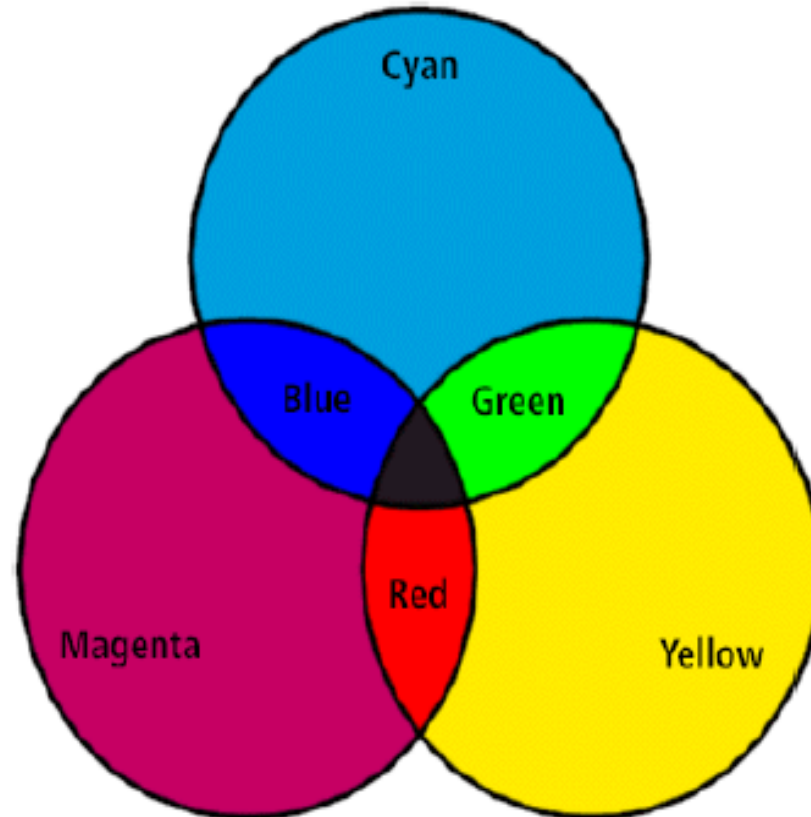
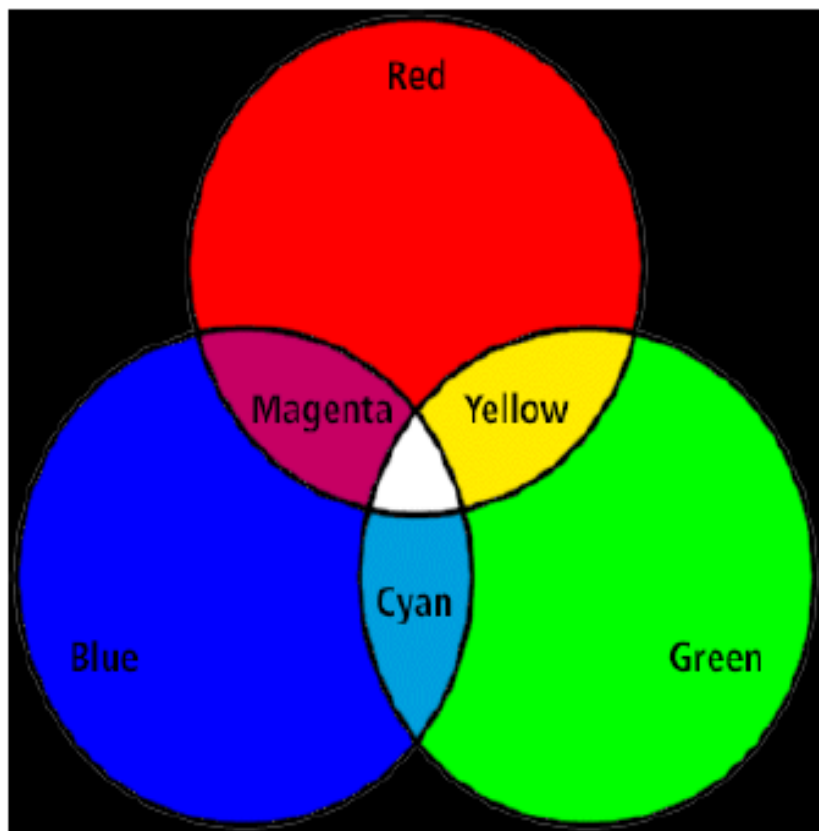
# RGB-kuben



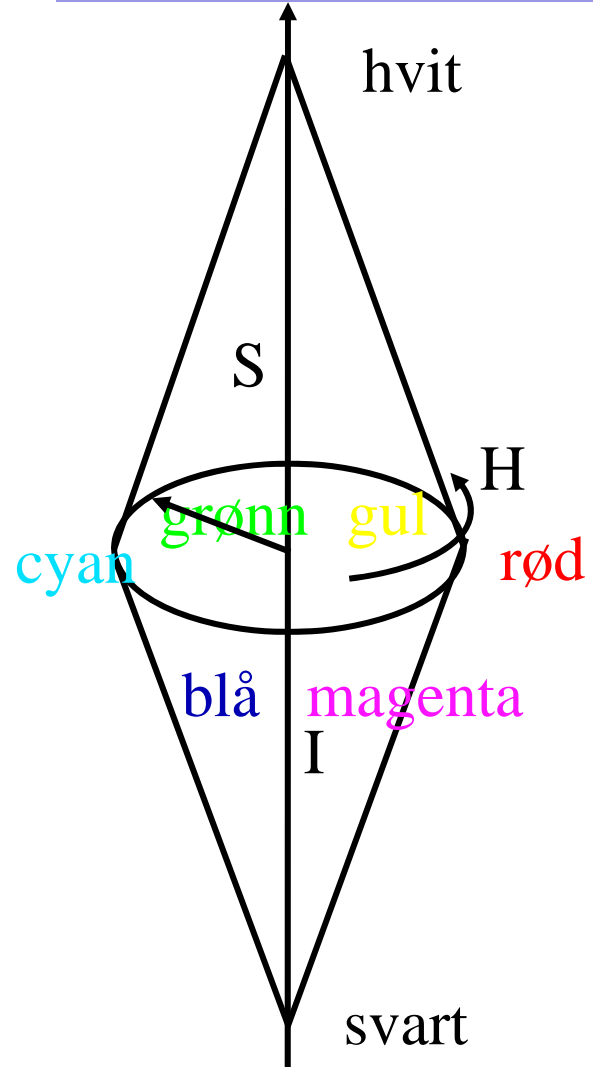
# RGB og CMY

---

- RGB og CMY er i prinsippet sekundærfarver



# Hue, Saturation, Intensity (HSI)



- ❑ Hue: ren farge - gir bølgelengden i det elektromagnetiske spektrum.



- ❑ H er vinkel og ligger mellom 0 og  $2\pi$ :  
**Rød**:  $H=0$ , **grønn**:  $H=2\pi/3$ , **blå**=  $4\pi/3$ ,  
**gul**:  $H=\pi/3$ , **cyan**=  $\pi$ , **magenta**=  $5\pi/3$
- ❑ Hvis vi skalerer H-verdiene til 8-bits verdier vil  
**Rød**:  $H=0$ , **grønn**:  $H= 85$ , **blå**=  $170$ ,  
**gul**:  $H=42$ , **cyan**=  $127$ , **magenta**=  $213$ .

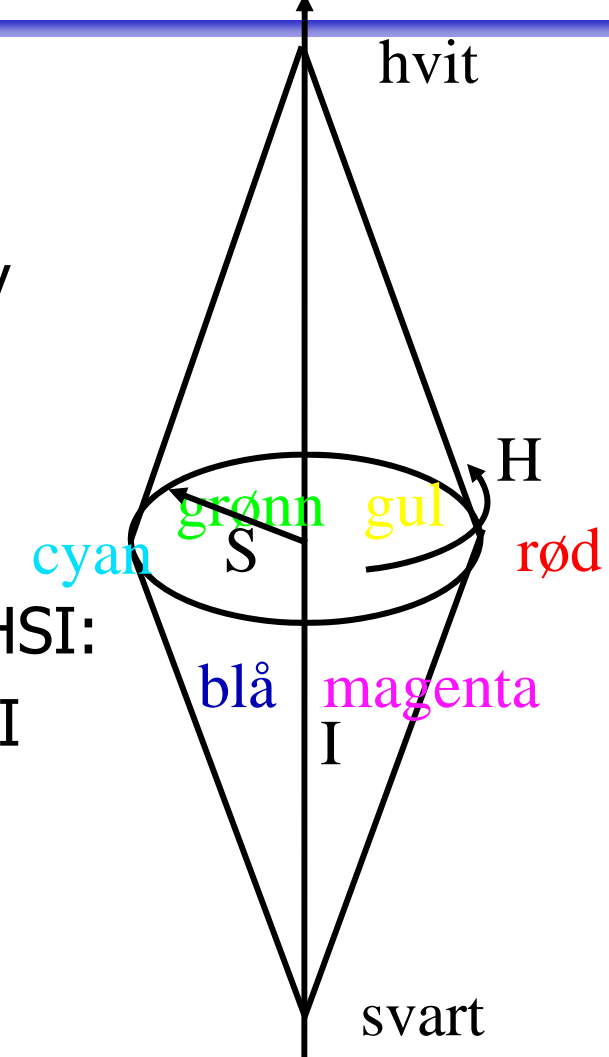
# Fargebilder og fargetabeller

---

- RGB kan lagres med like mange biter for **r**, **g**, **b**, f.eks  $(8 + 8 + 8)$
- Selv  $3 + 3 + 3 = 9$  biter gir oss  $8 \cdot 8 \cdot 8 = 512$  kombinasjoner, men bare 8 forskjellige nivåer av rødt, grønt og blått, og dermed også bare 8 forskjellige gråtoner.
- Et scene med mange nyanser av én farge vil da se ille ut !  
Hvorfor? Jo fordi denne fargen bare får 8 forskjellige nyanser !
- Det er ikke sikkert at alle de 512 fargene finnes i bildet.
- Alternativt kan man bruke 8 biter og **fargetabeller**.
- Hver rad i tabellen beskriver en **r**, **g**, **b**-farge med 24 biter.
- **Tabellen inneholder de 256 fargene som best beskriver bildet.**
- I bilde-filen ligger pikselverdiene som tall mellom 0 og 255.
- Når vi skal vise bildet, slår vi bare opp i samme rad som pikselverdien, og finner de tilsvarende **r**, **g**, **b**-verdiene.

# Histogramutjevning av RGB-bilder

- Histogramutjevning på hver komponent (R,G,B) uavhengig av hverandre
  - Ofte dårlig resultat
- Et bedre alternativ er å benytte HSI:
- Transformér bildet fra RGB til HSI
- Gjør histogramutjevning på I-komponenten
- Transformer  $HSI_{nv}$  tilbake til RGB



# Terskling av fargebilder - I

---

- Anta at vi har observert samme scene på flere bølgelengder.
- Vi kan da utføre terskling basert på
  - to-dimensjonale
  - tre-dimensjonale
  - eller multi-dimensjonale histogrammer
- Enkel metode:
  - 1: Bestem terskler uavhengig for hver kanal.
  - 2: Kombiner alle segmenterte kanaler til ett bilde.
- Dette svarer til at vi har delt opp f.eks. RGB-rommet i bokser.

# Terskling av fargebilder - II

---

- En mer kompleks metode:
- Velg et punkt i det multidimensjonale rommet som referanse, f.eks.  $(R_0, G_0, B_0)$
- Terskle basert på avstand fra dette referansepunktet.

$$d(x, y) = \sqrt{[f_R(x, y) - R_0]^2 + [f_G(x, y) - G_0]^2 + [f_B(x, y) - B_0]^2}$$

- Slik at

$$g(x, y) = \begin{cases} 1 & \text{hvis } d(x, y) \leq d_{\max} \\ 0 & \text{hvis } d(x, y) > d_{\max} \end{cases}$$

- Dette definerer en kule med radius  $d_{\max}$  omkring punktet  $(R_0, G_0, B_0)$ .
- Kan lett generaliseres til ellipsoide med forskjellige avstands-terskler i R,G,B

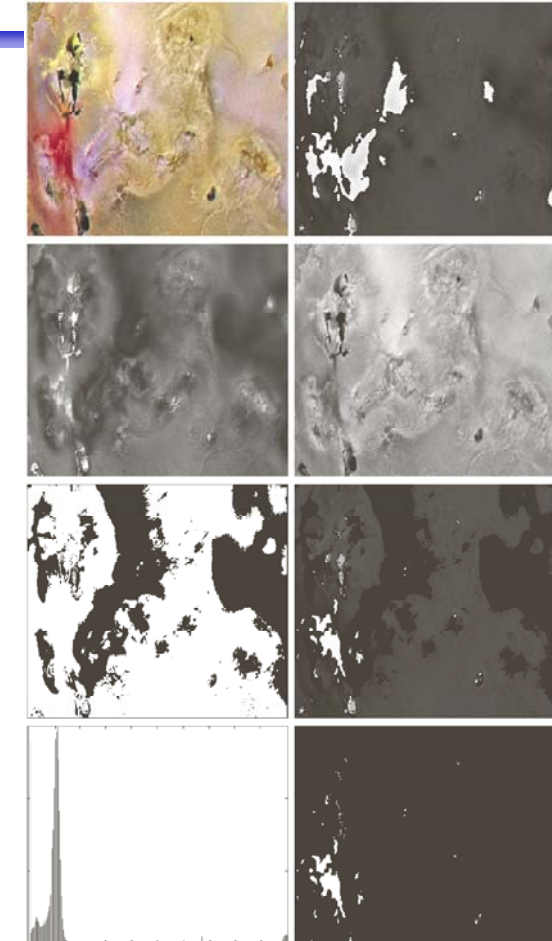
$$d(x, y) = \sqrt{\frac{[f_R(x, y) - R_0]^2}{d_R^2} + \frac{[f_G(x, y) - G_0]^2}{d_G^2} + \frac{[f_B(x, y) - B_0]^2}{d_B^2}}$$

- Merk at da er

$$g(x, y) = \begin{cases} 1 & \text{hvis } d(x, y) \leq 1 \\ 0 & \text{hvis } d(x, y) > 1 \end{cases}$$

# Terskling i HSI

- Transformer fra RGB til HSI.
- Anta at vi vil segmentere ut de delene av bildet som
  - Har en gitt farge (H)
  - Er over en gitt metnings-terskel (S)
- Lag en maske ved å terskle S-bildet (velg en percentil)
- Multipliser H-bildet med masken.
- Velg et intervall i H som svarer til ønsket farge.
- Husk at H er sirkulær!



**FIGURE 6.42** Image segmentation in HSI space. (a) Original. (b) Hue. (c) Saturation. (d) Intensity. (e) Binary saturation mask (black = 0). (f) Product of (b) and (e). (g) Histogram of (f). (h) Segmentation of red components in (a).

- 
- Kontakt oss
    - Hvis du lurer på noe i INF2310-pensum (e-post)
    - Hvis du tenker på flere kurs i digital bildeanalyse
    - Hvis du tenker på å ta en Master-oppgave

Takk, og lykke til med eksamen !!!